



Dynamique des Structures

L.BAILLET

Méthode des éléments finis appliquée aux structures discrètes

Dynamique : Les variations temporelles sont trop importantes pour négliger les effets d'inertie et d'amortissement.

Laurent BAILLET
Laboratoire de Géophysique Interne et Tectonophysique
UFR Mécanique / Université Joseph Fourier Grenoble

e-mail : laurent.baillet@ujf-grenoble.fr

1



Bibliographie

L.BAILLET

Dynamics of structures, Theory and applications to earthquake engineering, Anil K.Chopra

Schaum's outlines, Theory and problems of Mechanical vibrations, S.Graham Kelly

Mécanique des vibrations linéaires, Lalanne & al.

Dynamics of structures, J.L.Humar

Finite element procedures, K.J.Bathe

Comprendre les éléments finis, Alaa Chateauneuf

Optique et physique moderne, R.A.Serway

2



Sommaire

L.BAILLET

Introduction

I. L'oscillateur à 1 degré de liberté : Structure dissipative excitée

- 1) Sollicitation harmonique

II. Structures discrètes

- 1) Définition
- 2) Les éléments barres
- 3) Applications
- 4) Les éléments poutres (exemple)

III. Méthodologie de résolutions des équations du mouvement

- 1) Fréquences et modes propres
- 2) Superposition modale
- 3) Méthode d'intégration directe

3



Introduction

Composantes des systèmes mécaniques

L.BAILLET

Composantes

* d'inerties

Energie cinétique

$$E_c = \frac{1}{2}mv^2 + \frac{1}{2}I\omega^2$$

M masse du système
v vitesse du centre de la masse
I moment d'inertie de la masse
 ω vitesse angulaire

* de raideur,

$$F = kx$$

F force appliquée
x changement de l'allongement
k raideur (N/m)

* d'amortissement

$$F = cv$$

F force appliquée
c coefficient d'amortissement (kg/s)
v vitesse

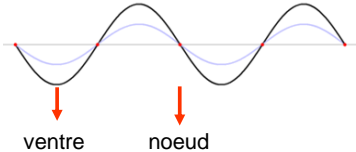


Introduction

Ondes stationnaires / modes de vibration



Mouvement résultant de la somme de deux ondes sinusoïdales de même amplitude, de même fréquence, et de même longueur d'onde se déplaçant dans des directions opposées

$$y(x, t) = A_0 \sin(kx - \omega t) + A_0 \sin(kx + \omega t) = 2A_0 \sin kx \cos(\omega t)$$


L'onde stationnaire résultante $y(x, t)$

- cesse d'être en mouvement → onde stationnaire
- est le produit de deux fonctions, l'une spatiale, l'autre temporelle
- est de forme $\sin kx$ oscillant à la pulsation ω

$$k = \frac{2\pi}{\lambda}; \omega = \frac{2\pi}{T} = 2\pi f; c = \lambda f = \frac{\omega}{k}$$

5



Introduction

Ondes stationnaires / modes de vibration



Ondes stationnaires dans une corde fixée à ses deux extrémités

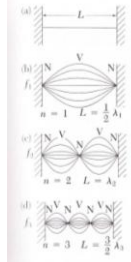


Figure 3.6 Ondes stationnaires dans une corde de longueur L , fixée à ses deux extrémités. Les modes de vibration normaux forment une série harmonique: (b) la fréquence fondamentale, ou première harmonique; (c) la seconde harmonique et (d) la troisième harmonique.

Tiré de *Physique et optique moderne*, R.A.Serway

$$\lambda_n = \frac{2L}{n} \quad (n = 1, 2, 3, \dots) \text{ Longueurs d'ondes des modes normaux}$$

$$f_n = \frac{c}{\lambda_n} \quad (n = 1, 2, 3, \dots) \text{ Fréquence des modes normaux}$$

$$v = \sqrt{\frac{F}{\mu}} \Rightarrow f_n = \frac{n}{2L} \sqrt{\frac{F}{\mu}} \quad (n = 1, 2, 3, \dots)$$

Un mode de vibration libre de la corde est une onde stationnaire résultant de la combinaison de deux ondes de même amplitude se déplaçant en sens opposés.

6



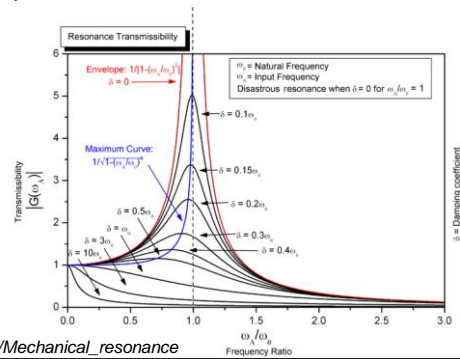
Introduction

Résonance

L.BAILLET

La résonance est la capacité d'un système mécanique à emmagasiner de plus en plus d'énergie, lorsque celle-ci est appliquée sous forme périodique et proche d'une fréquence dite « fréquence de résonance » ou « fréquence naturelle » ou fréquence propre.

Cette excitation entraîne des oscillations dont l'amplitude croit. Le mouvement du système peut alors atteindre un régime d'équilibre dépendant de son amortissement, ou aller jusqu'à la rupture d'un composant du système.



7

http://en.wikipedia.org/wiki/Mechanical_resonance



Introduction

Degrés de liberté

L.BAILLET

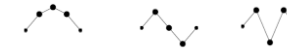
Un système à 1ddl possède un mode et une fréquence de vibration



Un système à 2ddl possède deux modes et deux fréquences de vibration



Un système à 3ddl possède deux modes et deux fréquences de vibration



Un système à 4ddl possède deux modes et deux fréquences de vibration



Un système continu possède une infinité de modes et fréquences de vibration



$$f_1=v/(2L) < f_2=2v/(2L) < f_3=3v/(2L) < f_4=4v/(2L) < \dots$$

Animation courtesy of Dr. Dan Russell, Grad. Prog. Acoustics, Penn State

8



Introduction

Séries de Fourier

L.BAILLET

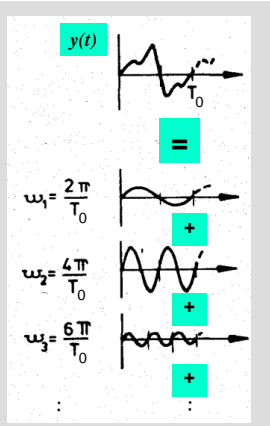
$$y(t) = y(t+T_0) = \frac{A_0}{2} + \sum_{n=1, \infty} (A_n \cos 2\pi f_n t + B_n \sin 2\pi f_n t) = \frac{A_0}{2} + \sum_{n=1, \infty} (A_n \cos \omega_n t + B_n \sin \omega_n t)$$

$f_n = n \frac{1}{T_0} = n f_1 \quad f_1 = \frac{1}{T_0}$ Fréquence la plus basse

et

$$A_n = \frac{2}{T_0} \int_0^{T_0} y(t) \cos \omega_n t dt$$

$$B_n = \frac{2}{T_0} \int_0^{T_0} y(t) \sin \omega_n t dt$$



(figure adaptée d'Ewins)

9



Introduction

Tacoma Narrows Bridge

L.BAILLET



Mode de torsion : 0.2 Hz



Rupture du pont, le 7 nov. 1940.



« La vitesse du vent n'était que de 67 km/h, tandis que le pont avait été dimensionné pour des vitesses beaucoup plus élevées, mais en ne tenant compte que des effets statiques. »

Source : Wikipedia

10



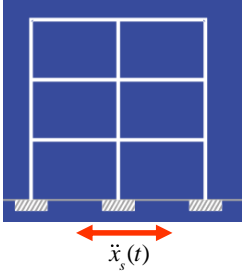
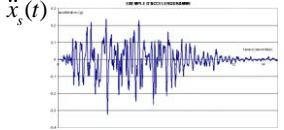
Introduction

Séisme de Gölcük

L.BAILLET

Yann
Arthur
Bertrand

"La Terre
vue
du ciel"

Séisme de Gölcük, août 1999, magnitude de 7.4 (échelle de Richter), 15 500 morts. [...] L'effondrement partiel ou total de 50 000 immeubles a suscité une polémique mettant en cause les entrepreneurs, accusés de ne pas avoir respecté les normes de construction antisismique. [...] Les tremblements de terre ont provoqué la mort de 169 000 personnes à travers le monde entre 1985 et 2000.

11



Introduction

Dynamique des milieux continus solides

L.BAILLET

□ Équations analytiques des ondes dans les milieux élastiques

Équation vectorielle de l'équilibre local

$$\text{div} \underline{\underline{\sigma}} + \underline{\underline{f}} = \rho \underline{\underline{\gamma}} = \rho \frac{\partial^2 \underline{\underline{u}}}{\partial t^2} \quad (\underline{\underline{f}} = \rho \underline{\underline{g}} \dots)$$

Loi de Hooke (comportement élastique linéaire)

$$\underline{\underline{\sigma}} = \lambda e \underline{\underline{I}} + 2\mu \underline{\underline{\varepsilon}} \quad (e = \text{div} \underline{\underline{u}} = \text{trace}(\underline{\underline{\varepsilon}}); \underline{\underline{\varepsilon}} = \frac{1}{2} (\text{grad} \underline{\underline{u}} + \text{grad}^T \underline{\underline{u}}))$$

⇒ Équation vectorielle du mouvement de Navier

$$\rho \underline{\underline{g}} + (\lambda + \mu) \text{grad}(\text{div} \underline{\underline{u}}) + \mu \Delta \underline{\underline{u}} = \rho \frac{\partial^2 \underline{\underline{u}}}{\partial t^2}$$

où $\underline{\underline{u}} = \{u_1 \quad u_2 \quad u_3\}^T$ et $u_i(x_1, x_2, x_3, t)$

P.Germain, *Mécanique des milieux continus* 1962
S.Laroze, *Mécanique des structures*, tome 3, 1992

12



Introduction

Dynamique des milieux continus solides

L.BAILLET

Équation vectorielle du mouvement de Navier

$$\rho \underline{g} + (\lambda + \mu) \text{grad}(\text{div} \underline{u}) + \mu \Delta \underline{u} = \rho \frac{\partial^2 \underline{u}}{\partial t^2}$$

où $\underline{u} = \{u_1 \ u_2 \ u_3\}^T$ et $u_i(x_1, x_2, x_3, t)$

Décomposition du champ de déplacement en un champ irrotationnel et un champ de divergence nulle

$\underline{u} = \underline{u}_L + \underline{u}_T$ avec $\text{rot} \underline{u}_L = \underline{0}$ et $\text{div} \underline{u}_T = 0$



ondes longitudinales



ondes transversales

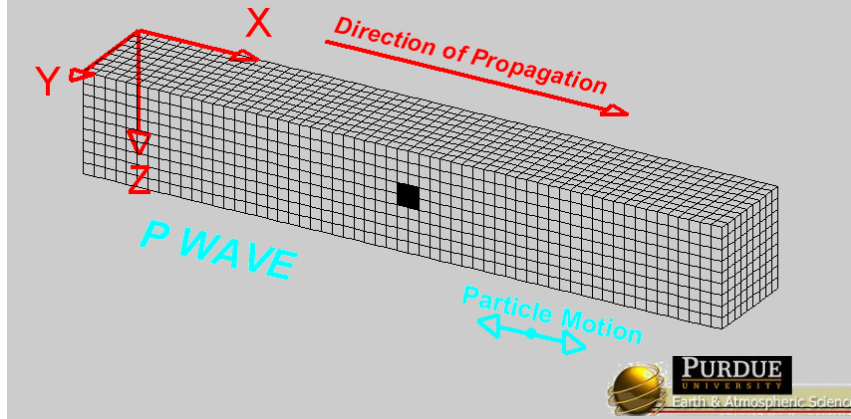
13



Introduction

Dynamique des milieux continus solides : Onde longitudinale (P-Wave)

L.BAILLET



Mouvement alternatif de traction/compression.
Mouvement de la particule // à la direction de propagation.
Rotation identiquement nulle

© Copyright 2004. L. Baïlle. Permission granted for reproduction and use of files and animations for non-commercial uses

14

Introduction
Dynamique des milieux continus solides : Onde transversale (S-Wave)

Mouvement alternatif de cisaillement.
Mouvement de la particule \perp à la direction de propagation.
Aucun changement de volume

© Copyright 2004. L. Braille. Permission granted for reproduction and use of files and animations for non-commercial uses

L.BAILLET

15

Introduction
Dynamique des milieux continus solides : Onde de Rayleigh (Surface)

Particle motion consists of elliptical motions (generally retrograde elliptical) in the vertical plane and parallel to the direction of propagation. Amplitude decreases with depth.

© Copyright 2004. L. Braille. Permission granted for reproduction and use of files and animations for non-commercial uses

L.BAILLET

Introduction

Dynamique des milieux continus solides : Onde de Love (Surface)

Particle motion consists of alternating transverse motions. Particle motion is horizontal and perpendicular to the direction of propagation (transverse). Amplitude decreases with depth.

© Copyright 2004. L. Baillat. Permission granted for reproduction and use of files and animations for non-commercial uses

Introduction

Méthode des éléments finis en dynamique

Champ de déplacement $\underline{u} = \{u_1 \ u_2 \ u_3\}$

$$u_i(x_1, x_2, x_3, t) = N_j(x_1, x_2, x_3)q_j(t)$$

Vecteur des ddl : $\underline{q}(t) = \{q_1(t) \ q_2(t) \ \dots \ q_n(t)\}^T$

accélération

$$M \frac{\partial^2 \underline{q}}{\partial t^2} + C \frac{\partial \underline{q}}{\partial t} + K \underline{q} = \underline{F}$$

Force d'inertie

vitesse

déplacement, rotation...

$K \underline{q} = \underline{F}$

Force d'amortissement

Statique

M : matrice de masse (nxn)
 C : matrice d'amortissement (nxn)
 K : matrice de raideur (nxn)
 F : vecteurs des forces extérieures (n)



Introduction

Analyse modale en vibrations libres : bases théoriques



Structure à n ddl
 But : calculer les n fréquences de résonance f_i (ou pulsations $\omega_i = 2 \pi f_i$)
 et les modes de vibration $\underline{\phi}_i$

$$M \frac{\partial^2 \underline{u}_t}{\partial t^2} + K \underline{u}_t = \underline{0}$$

Solutions $\underline{u}_t = \underline{\phi}_i \sin(\omega_i t + \varphi_i)$

$$(-\omega_i^2 M \underline{\phi}_i + K \underline{\phi}_i) \sin(\omega_i t + \varphi_i) = \underline{0} \Rightarrow M^{-1} K \underline{\phi}_i = \omega_i^2 \underline{\phi}_i$$

$i=1, \dots, n$

n valeurs propres $(\omega_i)^2 \Rightarrow$ fréquences de résonances f_i
 n vecteurs propres $\underline{\phi}_i \Rightarrow$ modes de vibration $\underline{\phi}_i$

19



Introduction

Analyse modale en vibrations libres : bases théoriques

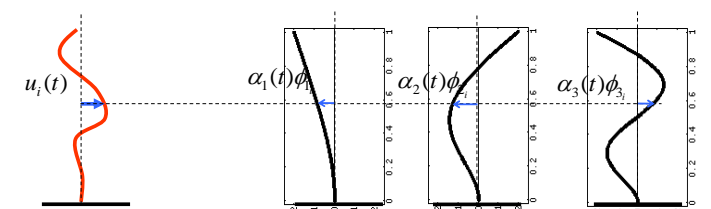


Les degrés de liberté \underline{u}_t peuvent être décrits par une combinaison linéaire des n modes de vibrations indépendants

$$\underline{u}_t = \sum_{i=1, n} a_i \sin(\omega_i t + \varphi_i) \underline{\phi}_i = \sum_{i=1, n} [c_i \sin(\omega_i t) + d_i \cos(\omega_i t)] \underline{\phi}_i$$

$$\underline{u}_t = \sum_{i=1, n} \alpha_i(t) \underline{\phi}_i = \Phi \underline{\alpha}_t$$

$\underline{\alpha}_t$ vecteur des composantes modales (dim n)
 $\Phi = [\underline{\phi}_1 \ \underline{\phi}_2 \ \underline{\phi}_3 \ \dots \ \underline{\phi}_n]$ matrice modale $dim(n \times n)$
 a_i, φ_i, c_i, d_i , constantes obtenues par les conditions initiales



$$\underline{u}_t = \{u_1(t) \ u_2(t) \ \dots \ u_n(t)\}^T = \alpha_1(t) \underline{\phi}_1 + \alpha_2(t) \underline{\phi}_2 + \alpha_3(t) \underline{\phi}_3 + \dots$$

20

Introduction

La corde vibrante : Analyse modale

Déplacement initial $\underline{q}(t=0)$
imposé à la corde

Solution générale $\underline{q}(t)$ en prenant 4 modes

$$\underline{q}(t) = \sum_{1,4} \alpha_i(t) \phi_i$$

Solution générale $\underline{q}(t)$ en prenant un nombre important de modes

$$\underline{q}(t) = \sum_{1,\infty} \alpha_i(t) \phi_i$$

harmonic number	amplitude
1	1.0
2	0.75
3	0.5
4	0.375
5	0.25
6	0.1875
7	0.125
8	0.09375
9	0.0625
10	0.046875
11	0.035
12	0.02625
13	0.019375
14	0.01425
15	0.010625
16	0.007875
17	0.005875
18	0.004375
19	0.00325
20	0.0024375

<http://paws.kettering.edu/~drussell/Demos/string/Fixed.html>

Introduction

Traveling Wave Equals Sum of Stationary Modes

$\underline{q}(t)$ avec 3 modes

$\underline{q}(t)$ avec 5 modes

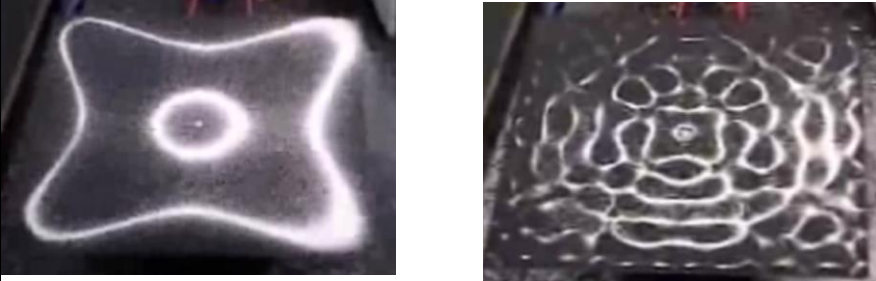
$\underline{q}(t)$ avec 9 modes

$\underline{q}(t)$ avec « ∞ » modes

<http://www.youtube.com/watch?v=GMXlzCX5gio&feature=related>

Introduction
Méthode des éléments finis en dynamique : Analyse modale

Modes propres d'une plaque appuyée en son centre



(archet) <http://www.youtube.com/watch?v=EprMFajNzfQ>

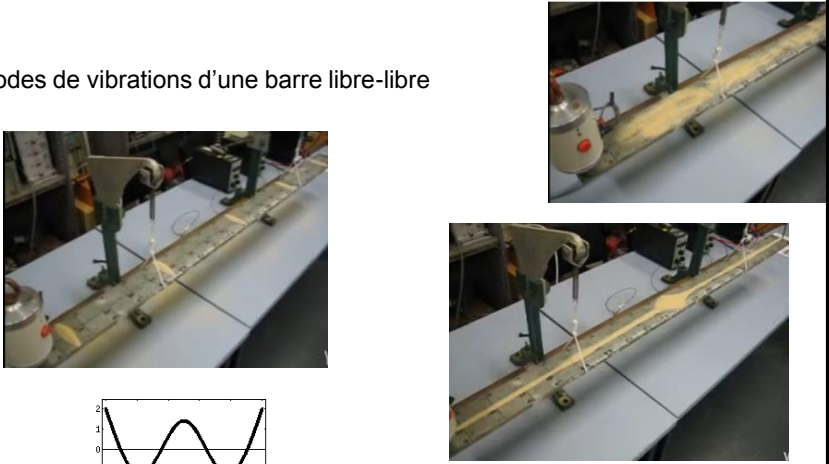
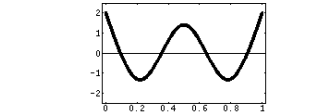
(pot vibrant) <http://www.youtube.com/watch?v=GtiSCBxbHAg>

Une structure continu possède une infinité de modes propres

L.BAILLET 23

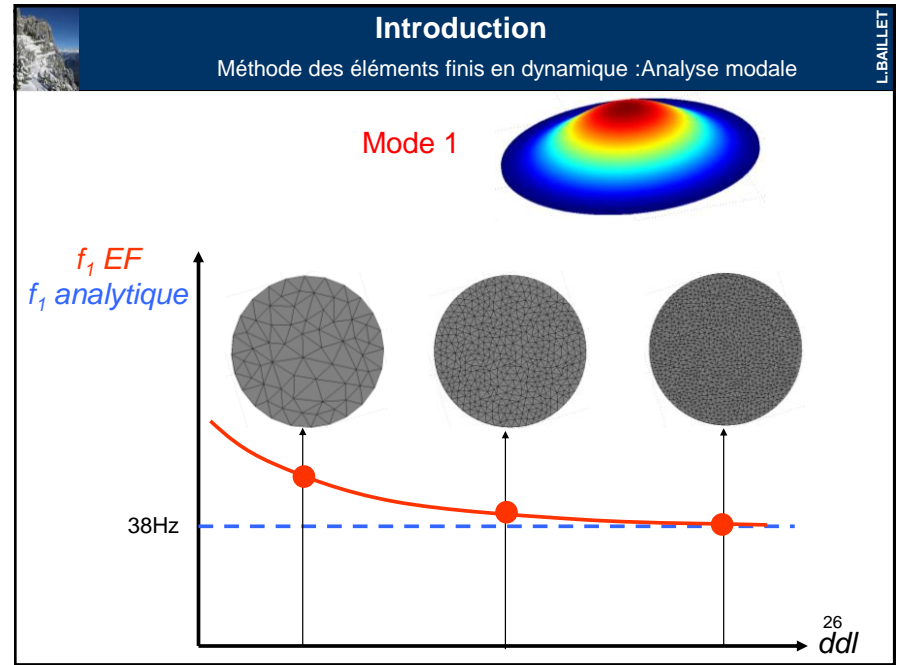
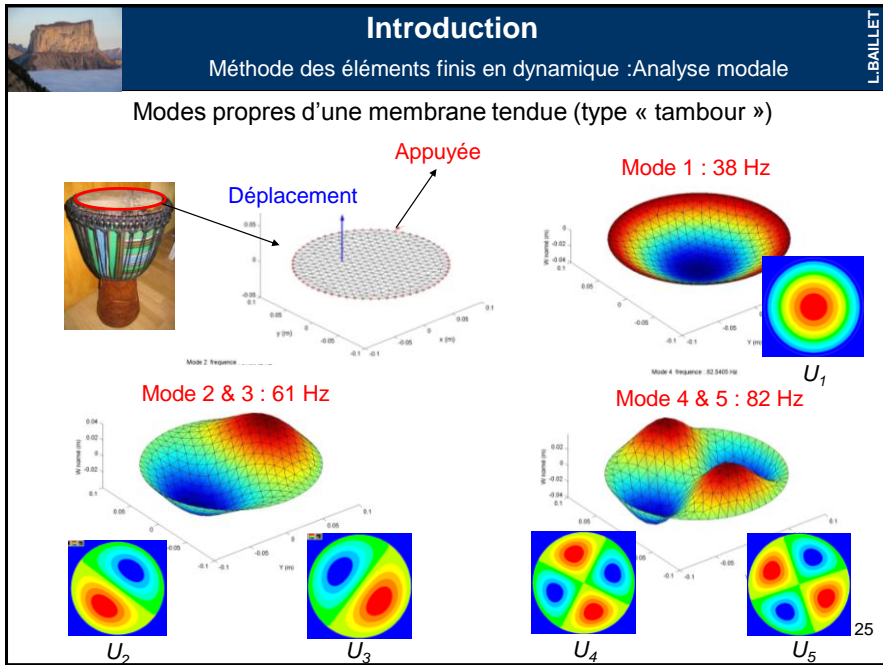
Introduction
Méthode des éléments finis en dynamique : Analyse modale

Modes de vibrations d'une barre libre-libre

<http://www.youtube.com/watch?v=XkmgMkDKAyU&feature=related>

L.BAILLET 24



Analyses modale et temporelle par éléments finis
 Analyse modale en vibrations libres : membrane rectangulaire

The (1,1) Mode The (1,2) Mode The (3,1) Mode

<http://www.kettering.edu/physics/drussell/Demos/MembraneSquare/Square.html>
 Animation courtesy of Dr. Dan Russell, Grad. Prog. Acoustics, Penn State

27

Introduction
 Méthode des éléments finis en dynamique : Analyse modale

Modélisation de la maquette SMART sous séisme : utilisation d'un modèle d'endommagement anisotrope 3D
 G. Lebon1, F. Ragueneau1, R. Desmorat1, Giens 2009

maquette SMART = éléments barre élastoplastique, modèles élastiques 3D (poutres, fondation) ou 2D (planchers).

Analyse modale

9Hz 16Hz 31Hz 32Hz

Quatre premiers modes propres de la maquette

28



Introduction

Méthode des éléments finis en dynamique : Analyse temporelle



Vecteur des ddl : $\underline{q}(t) = \{q_1(t) \quad q_2(t) \quad \dots \quad q_n(t)\}^T$

$$M \frac{\partial^2 \underline{q}}{\partial t^2} + C \frac{\partial \underline{q}}{\partial t} + K \underline{q} = \underline{F} \Rightarrow \underline{q}_{t+\delta t} = f(\underline{q}_{t-\delta t}, \underline{q}_t, \underline{F}_t)$$

Séries de Taylor :

$$\begin{cases} \frac{\partial q_i(t)}{\partial t} = f(q_i(t-\delta t), q_i(t), q_i(t+\delta t)) \\ \frac{\partial^2 q_i(t)}{\partial t^2} = g(q_i(t-\delta t), q_i(t), q_i(t+\delta t)) \end{cases}$$

La résolution dépend du développement de Taylor utilisé :

- explicite (différence centrée, Runge Kutta,...)
- implicite (Newmark, HHT,...)

29



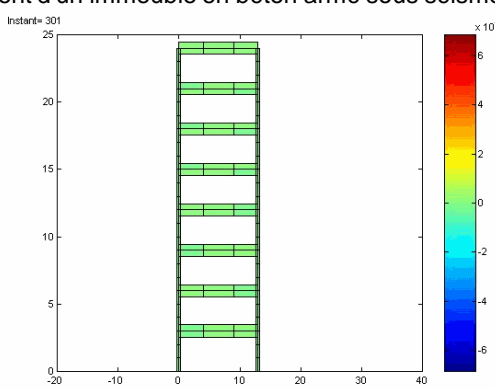
Introduction

Méthode des éléments finis en dynamique : Analyse temporelle



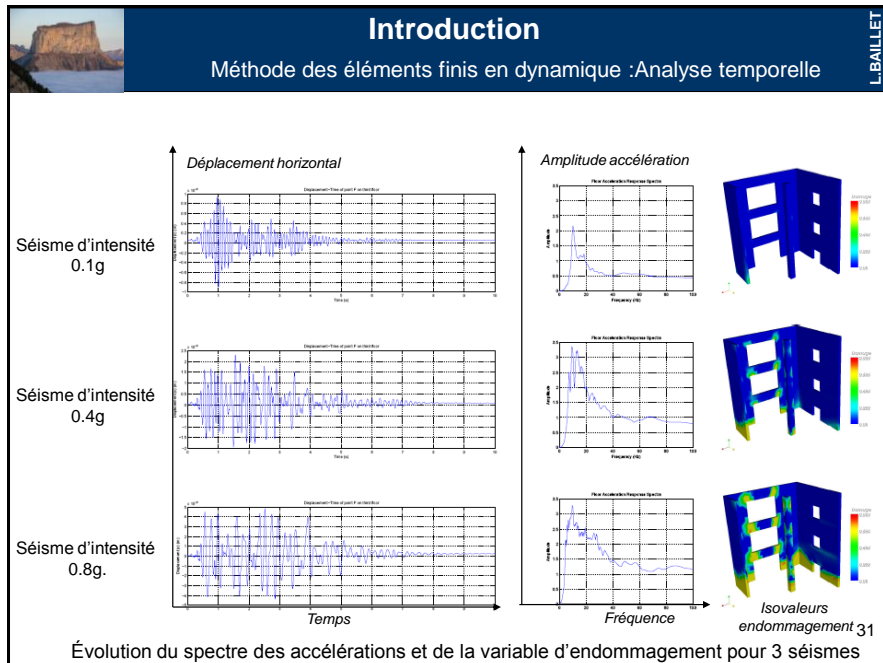
Comportement d'un immeuble en béton armé sous séisme

Source : <http://www.necs.fr/>



Structure étudiée: bâtiment à ossature en béton armé
Comportement mécanique: fissuration béton (mécanique de l'endommagement), plasticité armatures
Conditions aux limites: encastrement à la base
Chargement: séisme mono-directionnel (repère relatif)

30



Sommaire

Introduction

I. L'oscillateur à 1 degré de liberté : Structure dissipative excitée

1) Sollicitation harmonique

II. Structures discrètes

- 1) Définition
- 2) Les éléments barres
- 3) Applications
- 4) Les éléments poutres (exemple)

III. Méthodologie de résolutions des équations du mouvement

- 1) Fréquences et modes propres
- 2) Superposition modale
- 3) Méthode d'intégration directe

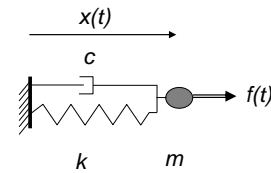
32

L.BAILLET

I. L'oscillateur à 1 degré de liberté

Structure dissipative excitée

Oscillations forcées amorties $m\ddot{x}(t) + c\dot{x}(t) + kx(t) = f(t)$



Solution générale = superposition de deux mouvements

- réponse transitoire (ou libre)
solution de l'équation homogène : $m\ddot{x}(t) + c\dot{x}(t) + kx(t) = 0$
- réponse stationnaire (ou forcée)
solution particulière de l'équation complète : $m\ddot{x}(t) + c\dot{x}(t) + kx(t) = f(t)$

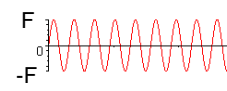
33

L.BAILLET

I. L'oscillateur à 1 degré de liberté

Structure dissipative excitée : sollicitation harmonique

Réponse à une sollicitation harmonique $f(t) = F \sin \omega_f t$



Solution stationnaire (particulière) $x(t) = X \sin(\omega_f t - \phi)$, $X \geq 0$

$$\tan \phi = \frac{2\xi\beta}{1-\beta^2}, X = \frac{F}{k} \frac{1}{\sqrt{(1-\beta^2)^2 + (2\xi\beta)^2}} \quad \text{avec } \beta = \frac{\omega_f}{\omega}, \phi \in [0, 180^\circ]$$

$\frac{F}{k}$ = déflexion statique fad = facteur d'amplification dynamique

$\omega = \sqrt{\frac{k}{m}}$

34



I. L'oscillateur à 1 degré de liberté

Structure dissipative excitée : sollicitation harmonique



Solution générale = réponse libre (transitoire) + réponse forcée (stationnaire)

$$x(t) = e^{-\xi\omega t} [A \cos \omega_a t + B \sin \omega_a t] + X \sin(\omega_f t - \phi) \quad \text{Régime permanent}$$

$$\Leftrightarrow x(t) = e^{-\xi\omega t} [A \cos \omega_a t + B \sin \omega_a t] + \frac{F}{k} \frac{1}{(1-\beta^2)^2 + (2\xi\beta)^2} ((1-\beta^2) \sin \omega_f t - 2\xi\beta \cos \omega_f t)$$

A et B obtenues par les conditions initiales, $\omega_a = \omega \sqrt{1-\xi^2}$ et $\beta = \frac{\omega_f}{\omega}$

$$\begin{cases} A = \frac{F}{k} \frac{2\xi\beta}{(1-\beta^2)^2 + (2\xi\beta)^2} + x_0 \\ B = \frac{F}{k} \frac{\omega}{\omega_a} \left\{ \frac{2\beta\xi - \beta(1-\beta^2)}{(1-\beta^2)^2 + (2\xi\beta)^2} \right\} + \frac{\dot{x}_0 + x_0\omega\xi}{\omega_a} \end{cases}$$

35

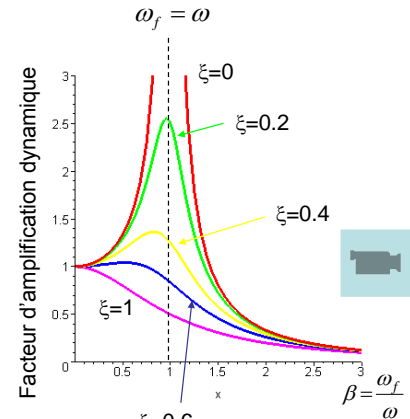


I. L'oscillateur à 1 degré de liberté

Structure dissipative excitée : sollicitation harmonique



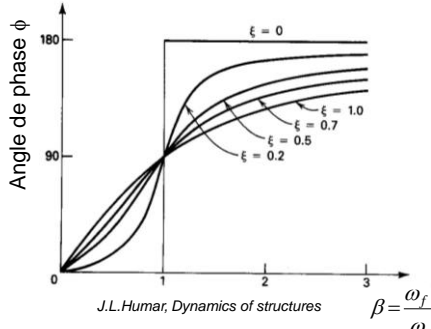
$\omega_f = \omega$



Facteur d'amplification dynamique

$$fad = \frac{1}{\sqrt{(1-\beta^2)^2 + (2\xi\beta)^2}}$$

$$fad_{\max} = \frac{1}{2\xi\sqrt{1-\xi^2}} \text{ pour } \beta = \sqrt{1-2\xi^2}$$



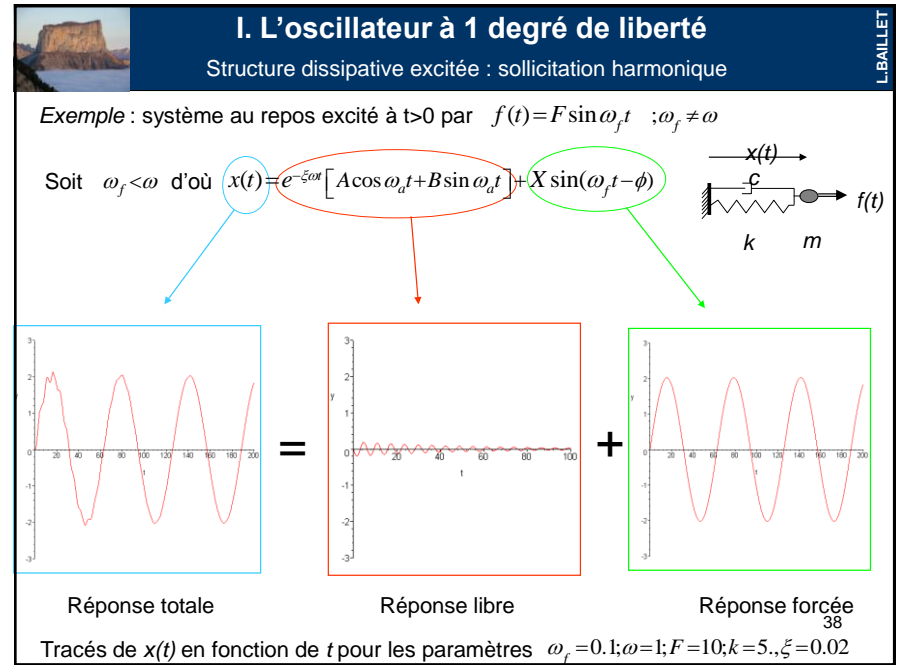
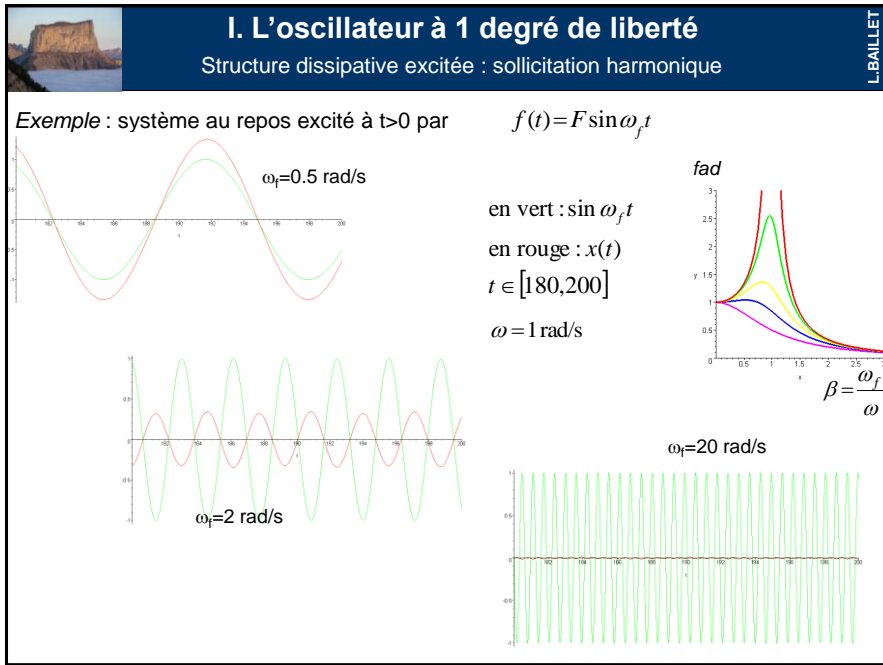
Angle de phase ϕ

J.L. Humar, Dynamics of structures

$\beta = \frac{\omega_f}{\omega}$

$\sin(t+\phi)$ $\sin(t)$ $\sin(t-\phi)$





I. L'oscillateur à 1 degré de liberté
Structure dissipative excitée : sollicitation harmonique

Exemple : système au repos excité à $t>0$ par $f(t) = F \sin \omega_f t$

Réponse totale Réponse libre (ou transitoire) Réponse forcée (ou stationnaire)

La réponse libre (ou transitoire) s'amortit au cours du temps d'autant plus vite que l'amortissement ξ est élevé.

⇒ La réponse totale tend vers la solution stationnaire pour $t \rightarrow \infty$

39

I. L'oscillateur à 1 degré de liberté
Structure dissipative excitée : sollicitation harmonique, résonance

Exemple : système au repos excité à $t>0$ par $f(t) = F \sin \omega_f t$

$\omega_f = \omega \Rightarrow \beta = 1 \Rightarrow f_{ad} = \frac{1}{2\xi}$

Réponse totale Réponse libre Réponse forcée

Tracés de $\frac{x(t)}{(F/k)}$ en fonction de t pour les paramètres $\omega_f = 1; \omega = 1; F = 10; k = 5; \xi = 0.02; \frac{1}{2\xi} = 25$

$x(t) \xrightarrow{t \rightarrow \infty} \frac{F}{k} \frac{1}{\sqrt{(1-\beta^2)^2 + (2\xi\beta)^2}} \sin(\omega_f t - \phi) = \frac{F}{k} \frac{1}{2\xi} \sin(\omega_f t - \phi) \Rightarrow \frac{x_{\max}}{F/k} = \frac{1}{2\xi}$

40

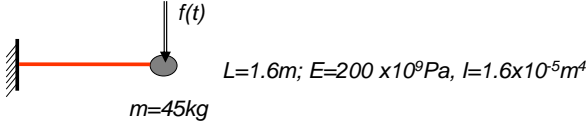


I. L'oscillateur à 1 degré de liberté

Structure dissipative excitée : sollicitation harmonique

L.BAILLET

Application



$L=1.6m; E=200 \times 10^9 Pa, I=1.6 \times 10^{-5} m^4$
 $m=45kg$

L'amplitude de la force appliquée à la masse est de 125N.

Quels sont les intervalles de la pulsation forcée (sollicitation) entrainant en régime en permanent une amplitude maximale de 0.2mm ?

L'amortissement est négligeable.

41

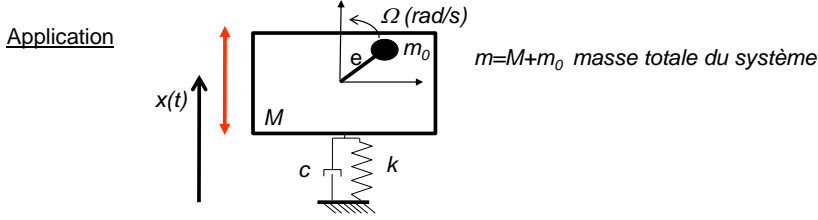


I. L'oscillateur à 1 degré de liberté

Structure dissipative excitée : sollicitation harmonique

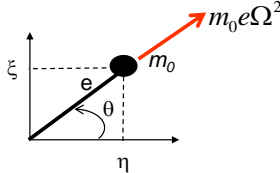
L.BAILLET

Application



$m=M+m_0$ masse totale du système

Le système est déséquilibré par une masse m_0 tournant à une vitesse angulaire Ω et située à une distance e de son axe de rotation.



$$\left. \begin{aligned} \eta &= e \cos \theta \\ \zeta &= e \sin \theta \\ \theta &= \Omega t - \pi \end{aligned} \right\} \Rightarrow \begin{cases} \ddot{\eta} = -e\Omega^2 \cos(\Omega t - \pi) \\ \ddot{\zeta} = -e\Omega^2 \sin(\Omega t - \pi) \end{cases}$$

$$m\ddot{x}(t) + c\dot{x}(t) + kx(t) = -m_0 e \Omega^2 (\sin \Omega t - \pi) = m_0 e \Omega^2 \sin \Omega t$$

42



I. L'oscillateur à 1 degré de liberté

Structure dissipative excitée : sollicitation harmonique



$$m\ddot{x}(t) + c\dot{x}(t) + kx(t) = m_0 e \Omega^2 \sin \Omega t = F \sin \Omega t$$

avec $F = m_0 e \Omega^2$.

La réponse en régime permanent est donnée par $x(t) = X \sin(\Omega t - \phi)$

où
$$X = \frac{m_0 e \Omega^2}{k} \frac{1}{\sqrt{(1 - \beta^2)^2 + (2\xi\beta)^2}} = \frac{e\beta^2 m_0/m}{\sqrt{(1 - \beta^2)^2 + (2\xi\beta)^2}}$$

$$\tan \phi = \frac{2\xi\beta}{1 - \beta^2}$$

et $\beta = \frac{\Omega}{\omega}$

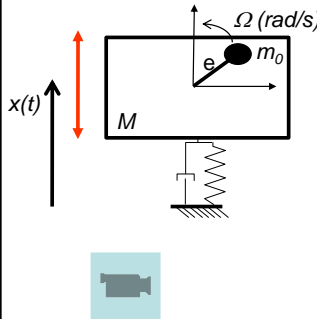
43



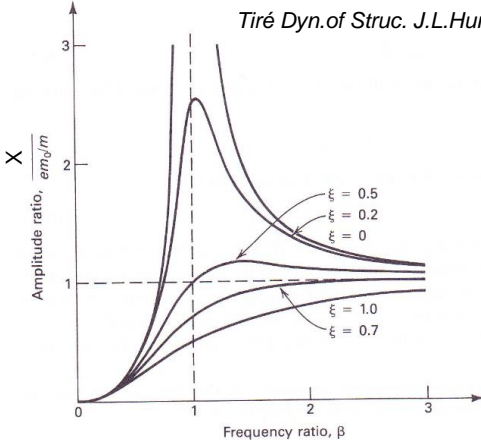
I. L'oscillateur à 1 degré de liberté

Structure dissipative excitée : sollicitation harmonique





Tiré Dyn. of Struc. J.L. Humar



L'amplitude maximale $X_{\max} = \frac{e(m_0/m)}{2\xi\sqrt{1-\xi^2}}$ est obtenue pour $\beta = \frac{1}{\sqrt{1-2\xi^2}} = \frac{\Omega}{\omega}$

http://www.youtube.com/watch?feature=player_detailpage&v=xHcimWmUVCA

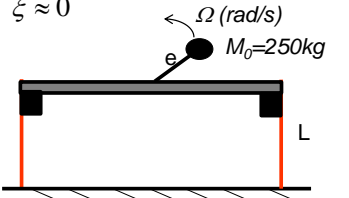
44

L.BAILLET

I. L'oscillateur à 1 degré de liberté

Structure dissipative excitée : sollicitation harmonique

$E = 200000\text{MPa}$
 $I = 25.8 \times 10^6 \text{mm}^4$
 $L = 3000\text{mm}$
 $I/y_{\max} = 249 \times 10^3 \text{mm}^3$
 $\xi \approx 0$



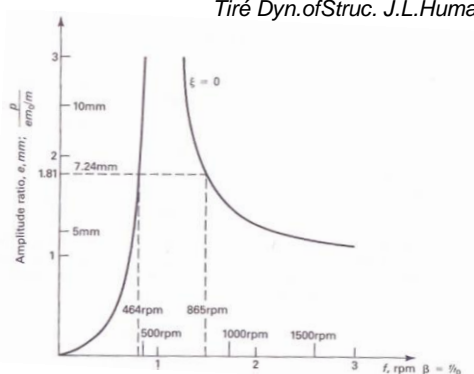
$M_0 = 250\text{kg}$

$m = 2500\text{kg}$ masse totale du système

Donner les intervalles de vitesse Ω telles que les contraintes de flexion dans les 4 poteaux n'excèdent pas 100MPa.

45

Tiré Dyn.ofStruc. J.L.Humar

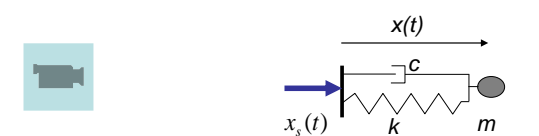


L.BAILLET

I. L'oscillateur à 1 degré de liberté

Structure dissipative excitée : sollicitation harmonique

Excitation harmonique du support $x_s(t) = A_s \sin \omega_f t$



$x(t)$ déplacement de la masse dans le repère mobile lié au support
 $x(t) + x_s(t)$ déplacement de la masse dans un repère fixe

$$m\ddot{x}(t) + c\dot{x}(t) + kx(t) = -m\ddot{x}_s(t) = mA_s\omega_f^2 \sin(\omega_f t) = F \sin(\omega_f t)$$

avec $F = A_s m \omega_f^2$

Solution $x(t) = X \sin(\omega_f t - \phi)$

En régime permanent, le déplacement total u_{tot} de la masse dans le repère fixe est

$$\frac{u_{tot}}{A_s} = \sqrt{\frac{1 + (2\xi\beta)^2}{(1 - \beta^2)^2 + (2\xi\beta)^2}}$$

46

http://www.youtube.com/watch?v=aZNnwQ8HJHU&feature=player_detailpage

I. L'oscillateur à 1 degré de liberté
Structure dissipative excitée : sollicitation harmonique

Excitation harmonique du support

Figure 6.13 Variation of the amplitude of transmitted motion with frequency ratio and damping.

Tiré Dyn.of Struc. J.L.Humar

I. L'oscillateur à 1 degré de liberté
Structure dissipative excitée : sollicitation harmonique

Application

Le sol est animé d'un déplacement harmonique de 10mm d'amplitude à une fréquence de 35Hz.

Quelle est l'amplitude relative et absolue de la masse en régime permanent ?

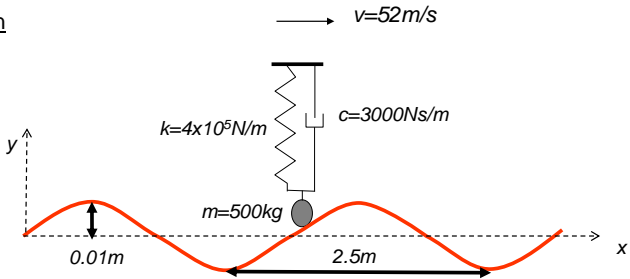


I. L'oscillateur à 1 degré de liberté

Structure dissipative excitée : sollicitation harmonique

L.BAILLET

Application



Quelle est l'amplitude absolue du système se déplaçant à une vitesse v sur une route ayant un profil sinusoïdale ?

49



Sommaire

L.BAILLET

Introduction

I. L'oscillateur à 1 degré de liberté : Structure dissipative excitée

- 1) Sollicitation harmonique

II. Structures discrètes

- 1) **Définition**
- 2) **Les éléments barres**
- 3) **Applications**
- 4) **Les éléments poutres (exemple)**

III. Méthodologie de résolutions des équations du mouvement

- 1) Fréquences et modes propres
- 2) Superposition modale
- 3) Méthode d'intégration directe

50



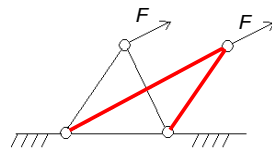
Structures discrètes

2.1. Définition

L.BAILLET

Une structure discrète est composée d'éléments discrets de forme simple (barres, poutres) interconnectés en structures plus complexes (treillis, ossature).

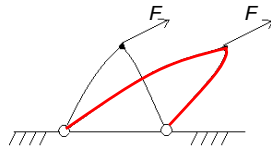
□ Treillis (structure réticulée) : les extrémités articulées des **barres** sont assemblées pour former des structures planes (2D) ou spatiales (3D). Les barres travaillent seulement en traction/compression (pas de flexion).



Nœuds ≡ articulations parfaites

Dans la pratique la liaison peut être rigide (soudure) ou souple (boulon d'attache)

□ Ossatures : les **poutres** assemblées travaillent aussi en flexion (liaison encastrement).



Ces structures sont très utilisées: Légèreté, résistance, éléments préfabriqués

51



Structures discrètes

2.2. Les éléments barres (cas 2D)

L.BAILLET

Objectif : Construire les matrices de masse et de raideur (M et K) ainsi que l'équation dynamique (sans amortissement : $M\ddot{q} + Kq = F$)

- a) Discrétisation
- b) Interpolation des déplacements
- c) Déformations et contraintes
- d) Énergie de déformation : matrice de raideur
- e) Énergie cinétique
 - 1. Matrice de masse cohérente
 - 2. Matrice de masse concentrée
- f) Passage de repères local-global
- g) Assemblage des éléments
- h) Équations de Lagrange

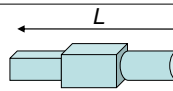
52

Structures discrètes

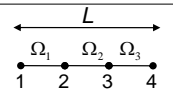
2.2. Les éléments barres (cas 2D) : Discrétisation

L. BAILLET

Les éléments barres sont soumis seulement à des efforts normaux (pas de couple transmis)



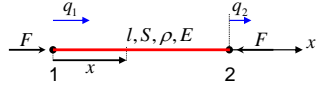
Élément réel



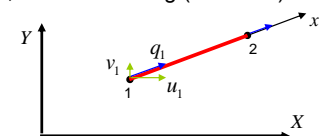
3 Éléments
4 noeuds

Maillage

l, S, ρ, E : longueur, section, masse volumique, module d'Young (scalaires)



Formulation locale



Formulation globale

$\underline{q}_e = \begin{Bmatrix} q_1(t) \\ q_2(t) \end{Bmatrix}$

\longrightarrow

$\underline{q}_e^g = \begin{Bmatrix} u_1(t) \\ v_1(t) \\ u_2(t) \\ v_2(t) \end{Bmatrix}$

$(u_n, v_n)_{n=1,4}$: déplacements nodaux (scalaires)

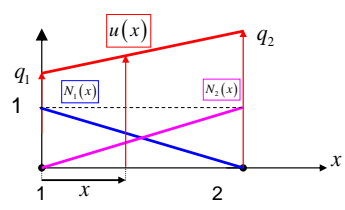
53

Structures discrètes

2.2. Les éléments barres (cas 2D) : Interpolation des déplacements

L. BAILLET

Hypothèse : Au sein de l'élément e [12] le déplacement varie **linéairement** de q_1 à q_2 entre les noeuds 1 et 2



$$u(x, t) = N_1(x) q_1(t) + N_2(x) q_2(t)$$

avec :

$$\begin{cases} N_1(x) = 1 - \frac{x}{l} \\ N_2(x) = \frac{x}{l} \end{cases}$$

Forme matricielle :

$$u(x, t) = \begin{bmatrix} N_1(x) & N_2(x) \end{bmatrix} \begin{Bmatrix} q_1(t) \\ q_2(t) \end{Bmatrix}$$

$$u(x, t) = N \underline{q}_e$$

N_i : Fonctions de formes (ou de base)
 N : Matrice d'interpolation
 \underline{q}_e : Vecteur des déplacements nodaux de la barre e

$N = \begin{bmatrix} N_1(x) & N_2(x) \end{bmatrix}$
 $\underline{q}_e^T(t) = \{q_1(t) \ q_2(t)\}$

54



Structures discrètes

2.2. Les éléments barres (cas 2D) : Déformations et contraintes

L.BAILLET

Une seule déformation (axiale), pas d'effort tranchant

$$\varepsilon_{xx}(t) = \frac{\delta l}{l} = \frac{du(x,t)}{dx} = \frac{dN_1(x)}{dx} q_1(t) + \frac{dN_2(x)}{dx} q_2(t)$$

Forme matricielle :

$$\begin{cases} \varepsilon_{xx}(t) \\ \varepsilon_{xx} = B \underline{q}_e \end{cases} = \begin{bmatrix} \frac{dN_1(x)}{dx} & \frac{dN_2(x)}{dx} \end{bmatrix} \begin{Bmatrix} q_1(t) \\ q_2(t) \end{Bmatrix} \quad \text{avec} \quad B = \begin{bmatrix} -1 & 1 \\ l & l \end{bmatrix}$$

La contrainte axiale est donnée par la loi de Hooke :

$$\sigma_{xx}(t) = E \varepsilon_{xx}(t) = E B \underline{q}_e$$

55



Structures discrètes

2.2. Les éléments barres (cas 2D) : Énergie de déformation

L.BAILLET

L'énergie de déformation dans la barre e s'écrit :

$$U_e = \frac{1}{2} \int_{v_e} \underline{\sigma} : \underline{\varepsilon} dv_e = \frac{1}{2} \int_{v_e} \sigma_{ij} \varepsilon_{ij} dv_e$$

$$U_e = \frac{1}{2} \int_{v_e} \sigma_{xx} \varepsilon_{xx} dv_e = \frac{1}{2} \int_{v_e} (E B \underline{q}_e)^T \cdot (B \underline{q}_e) dv_e$$

$$U_e = \frac{1}{2} \underline{q}_e^T \left[\int_{v_e} B^T E B dv_e \right] \underline{q}_e$$

$$U_e = \frac{1}{2} \underline{q}_e^T K_e \underline{q}_e \quad \text{avec} \quad K_e = \int_{v_e} B^T E B dv_e$$

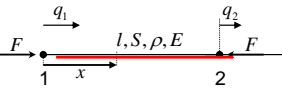
K_e : Matrice de rigidité élémentaire de la barre e

56

Structures discrètes
2.2. Les éléments barres (cas 2D) : Énergie de déformation

L.BAILLET

Application : matrice de rigidité d'une barre à 2 noeuds



$$K_e = \frac{ES}{l} \begin{bmatrix} 1 & -1 \\ -1 & 1 \end{bmatrix}$$

Énergie de déformation

$$U_e = \frac{ES}{2l} (q_1^2 - 2q_1q_2 + q_2^2)$$

57

Structures discrètes
2.2. Les éléments barres (cas 2D) : Énergie cinétique

L.BAILLET

L'énergie cinétique dans la barre e s'écrit

$$T_e = \frac{1}{2} \int_{v_e} \rho V^2(x,t) dv_e = \frac{1}{2} \int_{v_e} \rho \left(\frac{\partial u(x,t)}{\partial t} \right)^2 dv_e$$

Vitesses nodales

$$u(x,t) = N \underline{q}_e \Rightarrow \frac{\partial u(x,t)}{\partial t} = N \underline{\dot{q}}_e \rightarrow \underline{\dot{q}}_e(t) = \begin{Bmatrix} \dot{q}_1(t) \\ \dot{q}_2(t) \end{Bmatrix}$$

$$T_e = \frac{1}{2} \int_{v_e} \rho (N \underline{\dot{q}}_e)^T (N \underline{\dot{q}}_e) dv_e = \frac{1}{2} \underline{\dot{q}}_e^T \left[\int_{v_e} \rho N^T N dv_e \right] \underline{\dot{q}}_e$$

$$T_e = \frac{1}{2} \underline{\dot{q}}_e^T M_e \underline{\dot{q}}_e \quad \text{avec} \quad M_e = \int_{v_e} \rho N^T N dv_e$$

M_e Matrice de masse élémentaire de la barre e

58



Structures discrètes

2.2. Les éléments barres (cas 2D) : Matrice de masse cohérente

L.BAILLET

$$M_e = \int_{v_e} \rho N^T \cdot N \, dv_e = \int_{v_e} \rho \begin{bmatrix} N_1(x) \\ N_2(x) \end{bmatrix} \begin{bmatrix} N_1(x) & N_2(x) \end{bmatrix} \cdot dx$$

Remarque : La matrice de masse est symétrique

L'intégration sur le volume avec S et ρ constants donne pour une barre à 2 noeuds

$$M_e = \rho S \int_l \begin{bmatrix} N_1^2(x) & N_1(x)N_2(x) \\ N_1(x)N_2(x) & N_2^2(x) \end{bmatrix} dx$$

$$M_e = \frac{\rho S l}{6} \begin{bmatrix} 2 & 1 \\ 1 & 2 \end{bmatrix}$$

Calcul de T à partir des 2 formulations :

$$\begin{cases} T_e = \frac{1}{2} \int_{v_e} \rho (N \dot{q}_e)^2 \, dv_e \\ T_e = \frac{1}{2} \dot{q}_e^T M_e \dot{q}_e \end{cases}$$

59



Structures discrètes

2.2. Les éléments barres (cas 2D) : Matrice de masse concentrée

L.BAILLET

On suppose que la masse m de la barre est concentrée aux 2 noeuds

$$\rho(x) = \begin{cases} \rho S l / 2 = m / 2 & \text{si } x = 0 \\ \rho S l / 2 = m / 2 & \text{si } x = l \end{cases}$$

D'où $M_e^C = S \int_l \rho(x) \begin{bmatrix} N_1^2(x) & N_1(x)N_2(x) \\ N_1(x)N_2(x) & N_2^2(x) \end{bmatrix} dx$

$$M_e^C = \frac{\rho S l}{2} \begin{bmatrix} 1 & 0 \\ 0 & 1 \end{bmatrix} = \frac{m}{2} \begin{bmatrix} 1 & 0 \\ 0 & 1 \end{bmatrix}$$

Avantages : - Construction facile

- Matrice diagonale \Rightarrow inversion immédiate

Inconvénient : résultats moins précis (spatialement et temporellement)

Montrer que T_e et T_e^C sont égaux avec $\dot{q}_1 = \dot{q}_2$

60

Structures discrètes
2.2. Les éléments barres (cas 2D) : Passage de repères local-global

Repère local

$\underline{q}_e = \begin{Bmatrix} q_1 \\ q_2 \end{Bmatrix}$

Repère global

$\underline{q}_1^g = \begin{Bmatrix} u_1 \\ v_1 \\ u_2 \\ v_2 \end{Bmatrix}$ → Dépl / X noeud 1
 → Dépl / Y noeud 1

$\underline{q}_2^g = \begin{Bmatrix} u_1 \\ v_1 \\ u_3 \\ v_3 \end{Bmatrix}$

$$\underline{q}_e = T_e \underline{q}_e^g \quad \text{avec} \quad T_e = \begin{bmatrix} \cos \theta & \sin \theta & 0 & 0 \\ 0 & 0 & \cos \theta & \sin \theta \end{bmatrix}$$

61

Structures discrètes
2.2. Les éléments barres (cas 2D) : Passage de repères local-global

On montre que

$$K_e^g = \frac{ES}{l} \begin{bmatrix} \alpha & -\alpha \\ -\alpha & \alpha \end{bmatrix} = T_e^T K_e T_e$$

$$M_e^g = \frac{\rho SI}{6} \begin{bmatrix} \alpha & \frac{\alpha}{2} \\ \frac{\alpha}{2} & \alpha \end{bmatrix} \quad \text{avec} \quad \alpha = \begin{bmatrix} \cos^2(\theta) & \cos(\theta)\sin(\theta) \\ \cos(\theta)\sin(\theta) & \sin^2(\theta) \end{bmatrix}$$

62



Structures discrètes

2.2. Les éléments barres (cas 2D) : Assemblage

L.BAILLET

Les énergies cinétique et de déformation de la structure constituée de n barres sont obtenues par sommation :

$$U^g = \sum_{e=1}^n U_e^g$$

$$T^g = \sum_{e=1}^n T_e^g$$

63



Structures discrètes

2.2. Les éléments barres (cas 2D) : Équations de Lagrange

L.BAILLET

Énergies $\left\{ \begin{array}{l} \text{Cinétique} \\ \text{Déformation} \\ \text{Dissipation} \end{array} \right. \longrightarrow \boxed{\text{Équation du mouvement}}$

Soit $\underline{q} = \{q_1 \ q_2 \ \dots \ q_{N-1} \ q_N\}^T$ les déplacements et vitesses des N ddl dans le repère global.
 $\underline{\dot{q}} = \{\dot{q}_1 \ \dot{q}_2 \ \dots \ \dot{q}_{N-1} \ \dot{q}_N\}^T$

Pour un système conservatif (pas de dissipation)

$$\frac{\partial}{\partial t} \left(\frac{\partial T^g}{\partial \dot{q}_i} \right) - \frac{\partial T^g}{\partial q_i} + \frac{\partial U^g}{\partial q_i} = F_i \quad i=1, \dots, N$$

À partir de : $\left\{ \begin{array}{l} T^g = \frac{1}{2} \underline{\dot{q}}^T \underline{M} \underline{\dot{q}} \\ U^g = \frac{1}{2} \underline{q}^T \underline{K} \underline{q} \end{array} \right. \longrightarrow \boxed{\underline{M} \underline{\ddot{q}} + \underline{K} \underline{q} = \underline{F}}$

Pour un système non conservatif : $\boxed{\underline{M} \underline{\ddot{q}} + \underline{C} \underline{\dot{q}} + \underline{K} \underline{q} = \underline{F}}$

64

Structures discrètes
2.4. Les éléments poutres

L. BAILLET

$\underline{q}_e = \{q_{ix} \quad q_{iy} \quad q_i \quad q_{jx} \quad q_{jy} \quad q_j\}^T$

$(E, S, L, I_z)_e$

$$K_e \underline{q}_e = \underline{F}_e$$

$$K_e = \begin{bmatrix} \frac{ES}{L} & 0 & 0 & -\frac{ES}{L} & 0 & 0 \\ 0 & \frac{12EI}{L^3} & \frac{6EI}{L^2} & 0 & -\frac{12EI}{L^3} & \frac{6EI}{L^2} \\ 0 & \frac{6EI}{L^2} & \frac{4EI}{L} & 0 & -\frac{6EI}{L^2} & \frac{2EI}{L} \\ 0 & 0 & 0 & \frac{ES}{L} & 0 & 0 \\ 0 & 0 & 0 & 0 & \frac{12EI}{L^3} & -\frac{6EI}{L^2} \\ 0 & 0 & 0 & 0 & -\frac{6EI}{L^2} & \frac{4EI}{L} \end{bmatrix}$$

$$\underline{F}_e = \begin{Bmatrix} f_{ix} \\ f_{iy} \\ m_i \\ f_{jx} \\ f_{jy} \\ m_j \end{Bmatrix}$$

65

Structures discrètes
2.4. Les éléments poutres

L. BAILLET

$$\begin{Bmatrix} u_i \\ v_i \\ \theta_i \\ u_j \\ v_j \\ \theta_j \end{Bmatrix} = \begin{bmatrix} \cos \theta_e & \sin \theta_e & 0 & 0 & 0 & 0 \\ \sin \theta_e & -\cos \theta_e & 0 & 0 & 0 & 0 \\ 0 & 0 & 1 & 0 & 0 & 0 \\ 0 & 0 & 0 & \cos \theta_e & -\sin \theta_e & 0 \\ 0 & 0 & 0 & \sin \theta_e & \cos \theta_e & 0 \\ 0 & 0 & 0 & 0 & 0 & 1 \end{bmatrix} \begin{Bmatrix} q_{ix} \\ q_{iy} \\ \theta_i \\ q_{jx} \\ q_{jy} \\ \theta_j \end{Bmatrix} \Leftrightarrow \underline{q}_e^g = T_e^{-1} \underline{q}_e = T_e^T \underline{q}_e \Leftrightarrow \underline{q}_e = T_e \underline{q}_e^g$$

$$K_e^g = T_e^{-T} K_e T_e \qquad M_e^g = T_e^{-T} M_e T_e$$

66



Structures discrètes

2.4. Les éléments poutres

L.BAILLET

La matrice de masse de l'élément poutre a la forme suivante :

$$M_e = \frac{\rho SL}{420} \begin{bmatrix} 140 & 0 & 0 & 70 & 0 & 0 \\ & 156 & 22L & 0 & 54 & -13L \\ & & 4L^2 & 0 & 13L & -3L^2 \\ & & & 140 & 0 & 0 \\ & & & & 156 & -22L \\ & & & & & 4L^2 \end{bmatrix}$$

sym.

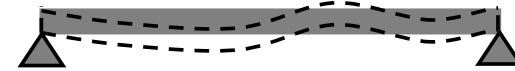
67



Structures discrètes

2.4. Les éléments poutres

L.BAILLET



Modes de vibration en flexion d'une passerelle

2nd



3ième



Modes de vibration en torsion d'une passerelle



68



Sommaire

L. BAILLET

Introduction

I. L'oscillateur à 1 degré de liberté : Structure dissipative excitée

- 1) Sollicitation harmonique

II. Structures discrètes

- 1) Définition
- 2) Les éléments barres
- 3) Applications
- 4) Les éléments poutres (exemple)

III. Méthodologie de résolutions des équations du mouvement

- 1) Fréquences et modes propres**
- 2) Superposition modale**
- 3) Méthode d'intégration directe**

69



Structures discrètes

3.1. Fréquences et modes propres

L. BAILLET

Équation du mouvement pour un système discret à N degrés de liberté

$$M \ddot{\underline{q}}_t + C \dot{\underline{q}}_t + K \underline{q}_t = \underline{F}_t$$

\underline{q} le vecteur des inconnues globales dépendant de la structure (dépl, rot°)

*On recherche la solution de l'équation pour une vibration libre ($\underline{F}_t = 0$)
On suppose qu'il n'y a pas d'amortissement (introduction par la suite):*

$$(1) \quad M \ddot{\underline{q}}_t + K \underline{q}_t = \underline{0}$$

Par séparation des variables d'espace et de temps (indépendantes) puis écriture sous forme d'une fréquence pure, les solutions de (1) sont

$$\underline{q}_t = \underline{x} \sin(\omega t + \phi)$$

$$\ddot{\underline{q}}_t = -\omega^2 \underline{x} \sin(\omega t + \phi)$$

70



Structures discrètes

3.1. Fréquences et modes propres

L.BAILLET

(1) $\Leftrightarrow -\omega^2 \underline{M} \underline{x} \sin(\omega t + \phi) + \underline{K} \underline{x} \sin(\omega t + \phi) = \underline{0}$
 $\forall t, (-\omega^2 \underline{M} + \underline{K}) \underline{x} \sin(\omega t + \phi) = \underline{0} \Rightarrow (-\omega^2 \underline{M} + \underline{K}) \underline{x} = \underline{0}$

Si \underline{M} est inversible, alors on a un problème « classique » aux valeurs propres:

$$(\underline{K} - \omega^2 \underline{M}) \underline{x} = \underline{0} \Rightarrow \underline{M}^{-1} \underline{K} \underline{x} = \omega^2 \underline{x} \quad \begin{cases} \dim(\underline{M}^{-1} \underline{K}) = N \times N \\ \dim(\underline{x}) = N \end{cases}$$

Ce problème admet N valeurs propres ω_i^2 et vecteurs propres $\underline{x}^{(i)}$

$(\omega_i^2, \underline{x}^{(i)}) \quad i=1 \dots N, \quad \underline{M}^{-1} \underline{K} \underline{x}^{(i)} = \omega_i^2 \underline{x}^{(i)}$

$(\omega_i, \underline{x}^{(i)})$ correspondent aux N pulsations (rad/s) et modes propres de vibration

71



Structures discrètes

3.2. Superposition modale

L.BAILLET

La réponse d'une structure à N degrés de liberté s'écrit sur la base modale en fonction des N modes propres

$$\underline{q}_t = \alpha_1(t) \underline{x}^{(1)} + \alpha_2(t) \underline{x}^{(2)} + \dots + \alpha_N(t) \underline{x}^{(N)} = \sum_{i=1}^N \alpha_i(t) \underline{x}^{(i)}$$

Remarque : pour les structures continues $N \rightarrow \infty$

Sous forme matricielle :

$$\underline{q}_t = \underline{\Phi} \underline{\alpha}_t \quad \begin{cases} \underline{\Phi} = [\underline{x}^{(1)} \dots \underline{x}^{(N)}] \quad \text{avec} \quad \dim(\underline{\Phi}) = N \times N \\ \underline{\alpha}_t = \{\alpha_1(t) \dots \alpha_N(t)\}^T \quad \text{vecteur des coordonnées modales} \end{cases}$$

C'est un passage, une projection dans la base formée par les vecteurs propres.
 $\underline{\Phi}$ est la matrice modale de changement de base $N \times N$

Intérêt: dans cette base modale, les N équations du mouvement couplées deviennent indépendantes.

72



Structures discrètes

3.2. Superposition modale



Les matrices de masse et de raideurs sont diagonales à travers le changement de base:

$$\underline{k} = \Phi^T \mathbf{K} \Phi = \begin{bmatrix} k_1 & & 0 \\ & \ddots & \\ 0 & & k_N \end{bmatrix}$$

$$\underline{m} = \Phi^T \mathbf{M} \Phi = \begin{bmatrix} m_1 & & 0 \\ & \ddots & \\ 0 & & m_N \end{bmatrix}$$

Démonstration :

$$\Phi^T \mathbf{M} \Phi = \mathbf{M}_{\text{mod}} = \begin{bmatrix} \underline{x}^{(1)T} \\ \vdots \\ \underline{x}^{(N)T} \end{bmatrix} \begin{bmatrix} \mathbf{M}_{11} & & \mathbf{M}_{1N} \\ & \ddots & \\ \mathbf{M}_{N1} & & \mathbf{M}_{NN} \end{bmatrix} \begin{bmatrix} \underline{x}^{(1)} & \dots & \underline{x}^{(N)} \end{bmatrix}$$

$$\mathbf{M}_{\text{mod}} \{i, j\} = \underline{x}^{(i)T} \mathbf{M} \underline{x}^{(j)} \quad \mathbf{K}_{\text{mod}} \{i, j\} = \underline{x}^{(i)T} \mathbf{K} \underline{x}^{(j)}$$

73



Structures discrètes

3.2. Superposition modale



À partir de la définition de $(\omega_i, \underline{x}^{(i)}) \quad \forall \{i, j\} \in 1, \dots, N$,

$$(a) \quad \underline{x}^{(j)T} (\mathbf{K} \underline{x}^{(i)} - \omega_i^2 \mathbf{M} \underline{x}^{(i)}) = 0$$

$$(b) \quad \underline{x}^{(i)T} (\mathbf{K} \underline{x}^{(j)} - \omega_j^2 \mathbf{M} \underline{x}^{(j)}) = 0$$

Les matrices K et M sont symétriques, ce qui implique :

$$\begin{cases} \underline{x}^{(j)T} \mathbf{K} \underline{x}^{(i)} = \underline{x}^{(i)T} \mathbf{K} \underline{x}^{(j)} \\ \underline{x}^{(j)T} \mathbf{M} \underline{x}^{(i)} = \underline{x}^{(i)T} \mathbf{M} \underline{x}^{(j)} \end{cases}$$

$$(a) - (b) \Leftrightarrow \underline{x}^{(j)T} \mathbf{K} \underline{x}^{(i)} - \underline{x}^{(i)T} \mathbf{K} \underline{x}^{(j)} + \omega_j^2 \underline{x}^{(i)T} \mathbf{M} \underline{x}^{(j)} - \omega_i^2 \underline{x}^{(j)T} \mathbf{M} \underline{x}^{(i)} = 0$$

$$\text{Soit } (\omega_j^2 - \omega_i^2) \underline{x}^{(j)T} \mathbf{M} \underline{x}^{(i)} = 0 \Rightarrow \begin{cases} i \neq j \Rightarrow \underline{x}^{(j)T} \mathbf{M} \underline{x}^{(i)} = 0 \\ i = j \Rightarrow \begin{cases} \underline{x}^{(i)T} \mathbf{M} \underline{x}^{(i)} = m_i \\ \underline{x}^{(i)T} \mathbf{K} \underline{x}^{(i)} = k_i \end{cases} \end{cases}$$

m_i et k_i : masses et raideurs modales du mode i

74



Structures discrètes

3.2. Superposition modale



Dans la **base réelle** : $M \ddot{\underline{q}}_t + K \underline{q}_t = \underline{0}$ et $\underline{q}_t = \Phi \underline{\alpha}_t$

Dans la **base modale** : $\Phi^T (M \Phi \ddot{\underline{\alpha}}_t + K \Phi \underline{\alpha}_t) = \underline{0} \Leftrightarrow \underline{m} \ddot{\underline{\alpha}}_t + \underline{k} \underline{\alpha}_t = \underline{0}$

$$\begin{bmatrix} m_1 & & 0 \\ & \ddots & \\ 0 & & m_N \end{bmatrix} \begin{Bmatrix} \ddot{\alpha}_1(t) \\ \vdots \\ \ddot{\alpha}_N(t) \end{Bmatrix} + \begin{bmatrix} k_1 & & 0 \\ & \ddots & \\ 0 & & k_N \end{bmatrix} \begin{Bmatrix} \alpha_1(t) \\ \vdots \\ \alpha_N(t) \end{Bmatrix} = \underline{0}$$

si $\alpha_i(t) = \beta_i \sin(\omega_i t + \phi_i)$; $\ddot{\alpha}_i(t) = -\omega_i^2 \beta_i \sin(\omega_i t + \phi_i)$

alors: $\forall i = 1, \dots, N$, $-\omega_i^2 m_i + k_i = 0$

Une équation par ligne avec pour solution

$$\alpha_i(t) = \beta_i \sin(\omega_i t + \phi_i) \quad , \quad \omega_i = \sqrt{\frac{k_i}{m_i}} \text{ et C.I. pour } \beta_i, \phi_i$$

75



Structures discrètes

3.2. Superposition modale



Equation du mouvement dans la **base modale** :

$$(\Phi^T M \Phi \ddot{\underline{\alpha}}_t + \Phi^T C \Phi \dot{\underline{\alpha}}_t + \Phi^T K \Phi \underline{\alpha}_t) = \Phi^T \underline{F}$$

Hypothèse de Basile : $\Phi^T C \Phi = \underline{c}$

Exemple : $C = aM + bK$

Alors: $\underline{m} \ddot{\underline{\alpha}}_t + \underline{c} \dot{\underline{\alpha}}_t + \underline{k} \underline{\alpha}_t = \Phi^T \underline{F}$

soit: $\forall i = 1, \dots, N$, $m_i \ddot{\alpha}_i(t) + c_i \dot{\alpha}_i(t) + k_i \alpha_i(t) = f_i(t)$

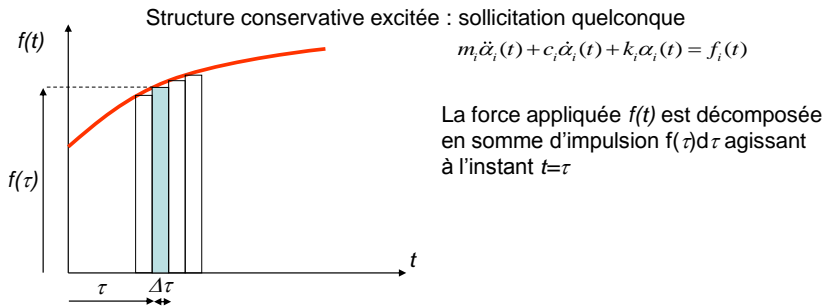
- Solution analytique pour les formes simples de $f_i(t)$
- Solution numérique de Duhamel pour les formes quelconques de $f_i(t)$

76

Structures discrètes

3.2. Superposition modale

L. BAILLET



Pour un système au repos à $t=0$, la réponse totale à l'instant t

$$\alpha_i(t) = \int_0^t f_i(\tau) h(t-\tau) d\tau = \frac{1}{m_i \omega_i} \int_0^t f_i(\tau) \sin \omega_i(t-\tau) d\tau$$

Intégrale de Duhamel = produit de convolution de l'excitation et de la réponse impulsionnelle

Cas général
$$\alpha_i(t) = (\alpha_0 \cos \omega t + \frac{\dot{\alpha}_0}{\omega} \sin \omega t) + \int_0^t f_i(\tau) \sin \omega_i(t-\tau) d\tau$$

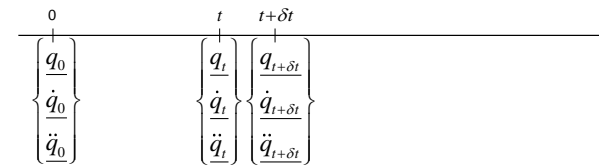
77

Structures discrètes

3.3. Méthode d'intégration directe

L. BAILLET

$$\mathbf{M} \ddot{\underline{q}}_t + \mathbf{C} \dot{\underline{q}}_t + \mathbf{K} \underline{q}_t = \underline{F}_t$$



Séries de Taylor :
$$\underline{q}_{t+\delta t} = \underline{q}_t + \dot{\underline{q}}_t \delta t + \ddot{\underline{q}}_t \frac{(\delta t)^2}{2} + \dots$$

La force est facilement prise en compte par intégration directe

La résolution dépend du développement de Taylor utilisé :

- explicite (différence centrée, Runge Kutta, ...)
- implicite (Newmark, HHT, ...)

78



Structures discrètes

3.3. Méthode d'intégration directe : Schéma explicite différences centrées



Equation à t

(a) $\ddot{q}_t = \frac{q_{t+\delta t} - 2q_t + q_{t-\delta t}}{(\delta t)^2}$ (b) $\dot{q}_t = \frac{q_t - q_{t-\delta t}}{\delta t}$ (c) $M\ddot{q}_t + C\dot{q}_t + Kq_t = F_t$

(a)+(b)+(c) \Rightarrow $q_{t+\delta t} = (\delta t)^2 M^{-1} (F_t - Kq_t - C\dot{q}_t) + 2q_t - q_{t-\delta t}$

- Si la matrice de masse est concentrée, N équations indépendantes
Pas de système à résoudre = opérations vectorielles
- Condition de stabilité : $\delta t < \delta t_{critique} \square \frac{l_{element}}{c}$
avec c la vitesse des ondes longitudinales dans les barres $c = \sqrt{E/\rho}$

$\delta t_{critique}$ correspond au temps du parcours de l'onde longitudinale à travers un élément de taille $l_{element}$

79



Structures discrètes

3.3. Méthode d'intégration directe : Schéma implicite de Newmark



(a) $\begin{cases} q_{t+\delta t} \approx q_t + \dot{q}_t \delta t + \frac{1}{2} (\delta t)^2 \{ (1-2\beta)\ddot{q}_t + 2\beta\ddot{q}_{t+\delta t} \} \\ \dot{q}_{t+\delta t} \approx \dot{q}_t + \delta t \{ (1-\gamma)\ddot{q}_t + \gamma\ddot{q}_{t+\delta t} \} \end{cases}$ avec: $\begin{cases} 0 \leq \beta \leq 1/2 \\ 0 \leq \gamma \leq 1 \end{cases}$

(c) **Equation à t+δt** $M\ddot{q}_{t+\delta t} + C\dot{q}_{t+\delta t} + Kq_{t+\delta t} = F_{t+\delta t}$

(a)+(b)+(c) \Rightarrow

$$\left[M + \gamma\delta t C + \beta(\delta t)^2 K \right] q_{t+\delta t} = F_{t+\delta t} - K \left[q_t + \dot{q}_t \delta t + (\delta t)^2 (1/2 - \beta)\ddot{q}_t \right] - C \left[\dot{q}_t + \delta t (1 - \gamma)\ddot{q}_t \right]$$

- Résolution d'un système couplé à chaque pas
- Schéma unconditionnellement stable

80